

**Esame di FONDAMENTI di AUTOMATICA**  
**(Nuovo ordinamento)**  
**13 Aprile 2004**  
**(Bozza di soluzione)**

**NB.** Si riportano a grandi linee alcune soluzioni degli esercizi proposti all'esame. Lo svolgimento della prova scritta deve essere più chiara di quanto qui rapidamente accennato.

1) Il disturbo  $d(t)$  agisce in ingresso al processo e quindi il polo in  $s = 0$  non rende astatico il sistema di controllo a controreazione.

- Ingresso di ordine 2, richiesta di errore a regime permanente finito  $\Rightarrow$  sistema di controllo deve essere di tipo 2 e il sistema in catena diretta (controllore  $C(s)$  in serie con il processo  $P(s)$ ) deve avere un guadagno opportuno. Per avere un sistema di controllo di tipo 2 il sistema in catena diretta deve contenere 2 poli in  $s = 0$ . Un polo in  $s = 0$  già presente nel processo, il controllore ne deve contenere uno solo. Guadagno del processo  $K_p = -5/100$  (negativo), specifica soddisfatta se  $e_2 = 1/|K_c K_p| \leq 1/(100\sqrt{10})$ . Per rendere il guadagno del sistema in catena diretta positivo, si sceglie  $K_c = -10000\sqrt{10}/5$ . Si noti che

$$(100\sqrt{10})|_{dB} = (100)|_{dB} + (\sqrt{10})|_{dB} = 40dB + 10dB = 50dB$$

- Polo aggiuntivo, per specifica precedente, in  $s = 0$  rende il sistema di controllo astatico rispetto a  $d(t)$  costante.
- Dal tracciamento del diagramma di Bode di  $K_c P(s)/s$  risulta che devo attenuare di 10dB e anticipare di almeno  $30^\circ$  in  $\omega_t^* = 10\text{rad/sec}$ . Devo utilizzare sia una funzione anticipatrice (anticipo di fase ma amplificazione del modulo) che una funzione attenuatrice (attenuazione del modulo ma ritardo di fase). Ad esempio, scegliendo una funzione anticipatrice  $R_a(s)$  con  $m_a = 10$  e  $\omega\tau_a = 0.8$  ottengo un anticipo (maggiore del richiesto ma cautelativo rispetto al futuro ritardo di fase introdotto dalla funzione attenuatrice) di  $34^\circ$  e un'amplificazione di circa 2dB. Con la funzione attenuatrice  $R_i(s)$  caratterizzata da  $m_i = 4$  e  $\omega\tau_i = 70$  ottengo 12dB di attenuazione e un ritardo di circa  $4^\circ$ . Volendo ottenere gli effetti precedenti in  $\omega_t^* = 10\text{rad/sec}$ , si ha  $\tau_a = 0.8/10$  e  $\tau_i = 70/10$ . Il sistema di controllo è stabile asintoticamente in quanto garantito dal teorema di Bode.

Il controllore finale, nello schema di controllo a controreazione unitaria, è

$$C(s) = \frac{K_c}{s} R_a(s) R_i(s)$$

2) Applico il criterio di Routh al denominatore della funzione di trasferimento del sistema ad anello chiuso

$$p(s) = s^4 + 3s^3 + 3s^2 + s(K + 1) + 2K$$

La C.N. richiede  $K > 0$  (e  $K > -1$ ). Dalla costruzione della tabella di Routh, affinché tutti gli elementi della prima colonna abbiano lo stesso segno deve essere inoltre  $K < 8$  e  $-K^2 - 11K + 8 > 0$ . Quest'ultima condizione richiede, per  $K > 0$ , che sia

$$K < \frac{11 - \sqrt{153}}{-2} = 0.68465$$

Pertanto il sistema ad anello chiuso sarà stabile asintoticamente per  $0 < K < 0.68465$ .

3) Il diagramma di Nyquist, in forma approssimata, è riportato in Fig.1. Dal diagramma di Bode si deduce che il diagramma di Nyquist interseca il semi-asse reale negativo a destra del punto di coordinate  $(-1, 0)$ . Essendo il sistema ad anello aperto privo di poli a parte reale positiva ed essendo il numero di giri del diagramma di Nyquist intorno al punto di coordinate  $(-1, 0)$  pari a 0, il sistema ad anello chiuso è stabile asintoticamente.

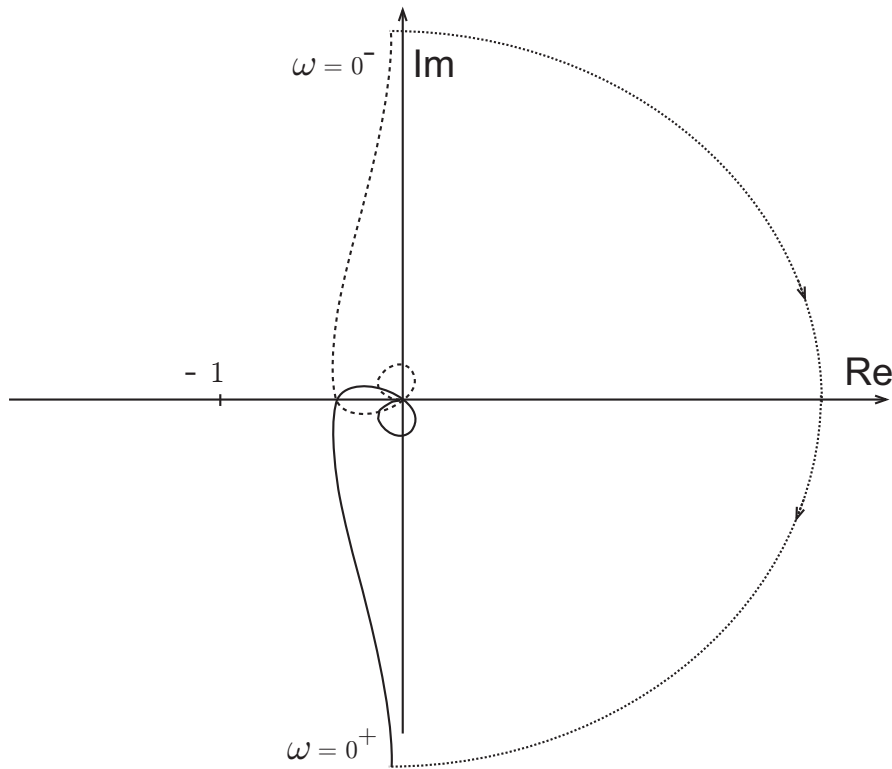


Figure 1: Diagramma di Nyquist

4) La funzione di trasferimento del disturbo (disturbo-uscita) è

$$W_d(s) = \frac{P(s)}{1 + KP(s)} = \frac{1}{s^2 + s + K} = \frac{1}{K} \frac{1}{\left(1 + \frac{s}{K} + \frac{s^2}{K}\right)}$$

Il guadagno diminuisce all'aumentare di  $K$ . Si noti che i poli sono reali per  $K \leq 1/4$  (fattori binomi) mentre diventano complessi per  $K > 1/4$  (fattore trinomio). Nel caso  $K > 1/4$ , all'aumentare di  $K$ , essendo  $\omega_n^2 = K$ , la pulsazione naturale aumenta, mentre  $\zeta = 1/(2\sqrt{K})$  diminuisce. Per illustrare l'effetto a regime permanente del disturbo  $d(t) = \sin t$  sull'uscita controllata al variare di  $K$  positivo si possono tracciare diversi diagrammi qualitativi del modulo di  $W_d(j\omega)$  ed evidenziare i diversi valori a  $\omega = 1$  rad/sec. L'andamento di  $|W_d(j\omega)|$  in funzione di  $K$  positivo è riportato in Fig.2.

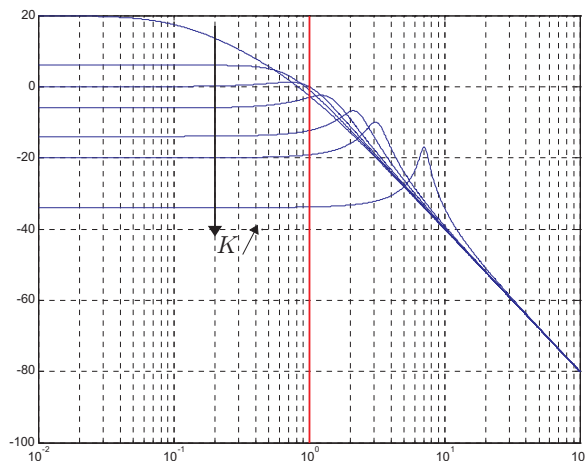


Figure 2:  $|W_d(j\omega)|_{dB}$  all'aumentare di  $K$  positivo

Si ricorda che la risposta a regime permanente è

$$y_{RP}(t) = |W_d(j)| \sin(t + \angle W_d(j))$$

In alternativa si può calcolare esplicitamente  $|W_d(j)|$ . Essendo

$$W_d(j) = \frac{1}{-1+j+K} = \frac{K-1-j}{(K-1-j)(K-1+j)} = \frac{K-1-j}{(K-1)^2+1}$$

si ha

$$|W_d(j)| = \frac{1}{\sqrt{(K-1)^2+1}}$$

e quindi per  $K$  positivo piccolo il modulo vale all'incirca  $1/\sqrt{2}$ , aumenta fino a  $K = 1$  (il modulo vale 1) e diminuisce fino a zero per  $K \gg 1$ . L'andamento di  $|W_d(j)|$  in funzione di  $K$  positivo è riportato in Fig.3.

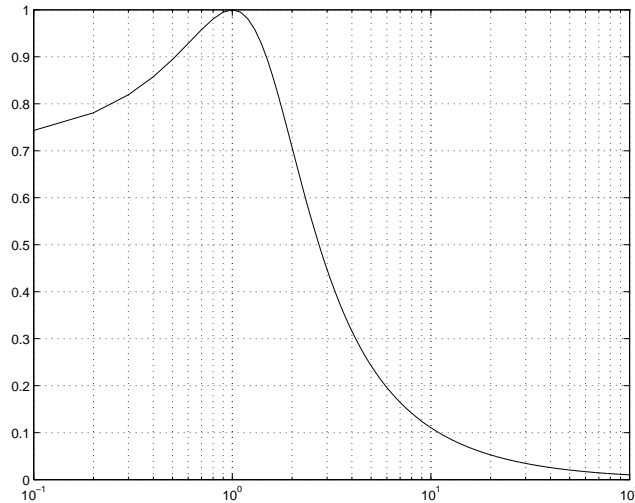


Figure 3:  $|W_d(j)|$  in funzione di  $K$  positivo in scala logaritmica

**5)** Il modello matematico del pendolo è riportato sul libro. Con l'ingresso costante applicato si individuano i punti di equilibrio, si linearizza e si stabilizza il sistema linearizzato.

**6)** La struttura diagonale a blocchi rende immediata l'individuazione degli autovalori della matrice i quali risultano essere  $\lambda_1 = 2j$ ,  $\lambda_2 = \lambda_1^* = -2j$ ,  $\lambda_3 = 0$ ,  $\lambda_4 = -1$ . Gli autovalori a parte reale nulla sono tutti a molteplicità algebrica unitaria, non esistono autovalori a parte reale positiva, il sistema è stabile semplicemente. Per i modi naturali vedi teoria.